

図6(b)のように, $g_1$ と $G_E$ のベクトル和を $g_2$ で表すと,その大きさは $g_2 = \sqrt{g_1^2 + G_E^2}$ となる。 $g_1$ と $g_2$ の間の角を $\varepsilon$ とすると, $\tan \varepsilon = G_E/g_1$ ,  $g_2 = g_1/\cos \varepsilon$ ,となる。水平線はC-cである。ここで,面GOce上の合力の加速度は $g_2$ だから,加速度成分 $g_y$ を無視すれば,滑降しているスキーヤーは, $g_2$ を重力の加速度のように感じ, $g_2$ の方向に垂直な線m-nを,水平線のように感じるであろう。特に,等速回転運動の場合には,線m-nはスキーヤーにとって水平線となる。こうして,水平線から測られた角付け角は $\beta_0$ から $\beta_E$ に変る。この $\beta_E$ は回転滑降の為に作られた水平線m-nとスキーとの間の角であるので, $\beta_E \neq 0^\circ$ が回転滑降を作る要因であると推定される。 $\varepsilon$ は回転滑降に寄与しない部分である。従って $\beta_0$ は, $\beta_0 = \varepsilon + \beta_E$ となる。

こうして, $G_E = 0$ の時の図2(d)の $g_1$ と $\beta_0$ は, $G_E \neq 0$ の時の図6(b)では,各々 $g_2$ と $\beta_E$ に変る。加速度成分は $g_2 = \sqrt{g_1^2 + G_E^2}$ を用いて,

$$g_x = g_2 \cdot \sin \beta_E, g_y = g \cdot \sin \alpha, g_z = g_2 \cdot \cos \beta_E, \quad (3)$$

となる。

図7(b)は、「 $\beta_0$ と $\beta_E$ 」と「 $g_1$ と $g_2$ 」の各加速度成分との間の関係が,図8,スキー番号7の数値を用いて描かれたベクトル図である。ベクトル図は,角度は実測値であり,加速度成分は実測値に比例した大きさで描かれたものである。遠心力が考慮されていない( $G_E = 0$ )時の重心の位置は $G'$ であり,加速度成分は $g_x'$ と $g_z'$ であり,表1に示される。又,遠心力が考慮されている( $G_E \neq 0$ )時の重心の位置は $G$ であり,加速度成分は $g_x$ と $g_z$ であり,表2に示される。

## 5.2. 滑降方向がFLと異なるとき

図2(b)において,スキーヤーが点Oを通り過ぎると,図4(a)のように $\theta \neq 0^\circ$ となる。図4(a)は図形が複雑すぎてスキー軌道SOTは描かれていない。スキー軌道SOTを図4(d)に示す。図4(a)で,点Oはスキー軌道SOTの接点であり,PLは接線である。スキーヤーに働く遠心力 $G_E$ はスキー場の斜面に平行な面上にあり,更にスキー場を $\theta$ 方向に垂直に切った面GOgce上にある。従って, $G_E$ の

方向は図4(c)の横斜面角 $\beta_1$ の線M-A3と平行である。図4(a)の面GOgceをPLに沿って前方からみると,図6(c)のようになる。右足のスキーは省略されている。図6(c)の遠心力 $G_E$ の方向に平行な線をA-Oと表すと,線A-Oは図4(c)の線M-A3に平行になる。図6(c)の $g_2$ は $g_1$ と $G_E$ のベクトル和であるので, $g_1$ と $g_2$ の間の角 $\varepsilon$ を用いると,大きさ $g_2$ は

$$\tan \varepsilon = G_E \cdot \cos \beta_1 / (g_1 + G_E \cdot \sin \beta_1),$$

$$\beta_0 = \varepsilon + \beta_E, \quad \beta_1 > 0^\circ,$$

$$g_2 = (g_1 + G_E \cdot \sin \beta_1) / \cos \varepsilon,$$

となる。加速度成分は図7(c)から

$$g_x = g_2 \cdot \sin \beta_E, g_y = g \cdot \sin \psi, g_z = g_2 \cdot \cos \beta_E, \quad (4)$$

となる。

図7(c)は図8,スキー番号12の数値を用いて描いたベクトル図である。

スキーヤーが点Oに入る前では,図面は図6(a)となり, $\beta_1 < 0^\circ$ となり,式(4)が成立する。図8,スキー番号2の実測値でベクトル図を描くと図7(a)になる。 $\theta = 0^\circ$ の時は $\beta_1 = 0^\circ$ となり,式(3)と式(4)は同じ式になり,式(4)は滑降方向 $\theta$ に関係なく成立する。

図7から,スキーヤーに $G_E$ が働くと,スキーヤーが感じる重力の加速度は, $g_1$ から $g_2$ へ変り,その方向と大きさが変る事が理解できる。更に水平線の方向も線C-bから線m-nへ変る。重力の加速度成分も $g_x', g_z'$ から, $g_x, g_z$ へと変る。従って,角付けの意味と定義も変ってくる。

$g_2$ と $g_y$ のベクトル和を $g_0$ (合力)で表すと,その大きさは $g_0 = \sqrt{g_2^2 + g_y^2}$ となる。図8のスキー番号2,7,12の左足スキーについて,遠心力が考慮された式(4)の $g_2, g_x, g_y, g_z$ の値が表2に記されている。更に,上記の各スキーについて, $g_0, G_E, G_c, V, \varepsilon, \beta_E, \beta_1$ が書き加えられている。表1と表2について, $g_y$ は遠心力の影響を受けないので同じ値となる。「 $g_2, g_x, g_y, g_z, g_0, G_E, G_c$ 」の単位はcm/s<sup>2</sup>,「V」の単位はcm/s,「 $\varepsilon, \beta_E, \beta_1$ 」の単位は度である。

回転滑降をしているスキーヤーがFLを通過する位置を図2(b)のように点Oとする。点Oの前後で,遠心力が考慮された加速度 $g_2$ がどのように変

表2 遠心力が考慮された加速度成分  $\alpha = 10^\circ$ 

スキ-番号	足	成分				合力	遠心力	加速度	速度	角付		
		$g^2$	$g^x$	$g^y$	$g^z$					$g^0$	$G_E$	$G_c$
2	左	973	79	163	970	987	175	123	662	10	4.6	-3.0
7	左	1062	102	170	1057	1076	441	147	757	25	5.5	0.2

表3 点O前後の  $\theta$ ,  $\varepsilon$ ,  $g^2$  の変化

	前	点O	後
$\theta$	+	0	-
$\varepsilon$	大	$\varepsilon$	小
合力	小	$g^2$	大

るかを見てみよう。もし、回転滑降の曲率半径Rと接線速度Vが点Oの前後で一定であれば、 $G_E$ も一定となり、点Oの前後で  $\theta$  と  $\varepsilon$  と  $g^2$  は表3のようになる事が図6から理解できるであろう。即ち、加速度  $g^2$  は点Oの前では小さく、後では大きくなる。スキーヤーが左回りと右回りの回転滑降を連続して行っている時、山回り回転から変曲点に入り、その後谷回り回転に入ると体が軽く感じる原因是、 $g^2$  が小さくなる為であろう。次にFLの点Oを通過し、山回り回転入るとスキーを強く押すように感じるのは、 $g^2$  が大きくなる為であろう。

### 5.3. 摩擦力の加速度 $g_f$

滑降方向の加速度の実験値は  $G_c$  である。  
 $g_y - G_c = g_f$  が摩擦力の加速度であり、方向はスキーの後方を向いており、 $g_f > 0$  が推定される。この摩擦力は、スキーと雪面の間の摩擦力とスキーヤーと空気との間の摩擦力から成り立っている。図2と図4は  $g_f = 0$  と見なして描かれている。表2では  $g_f \approx g_y/4$  である。

### 6. 有効角付け角 $\beta_E$

図6から、回転滑降をする時は  $\beta_0 > \beta_E > 0^\circ$  であり、 $\beta_0 > \varepsilon > 0^\circ$  である事が推定される。「1.序文」で、直線滑降は  $\beta_0 = 0^\circ$  であり、回転滑降は  $\beta_0 \neq 0^\circ$  と述べたが、回転を始めれば遠心力が生ずるので有効に働く角付け角は  $\beta_0$  より小さくなり、 $\beta_E$  になるであろう。 $\beta_E$  を有効角付け角と呼ぼう。

他方  $\varepsilon$  は回転に寄与しない部分であるので、 $\varepsilon$  は無効角付け角と考えられる。またスキーヤーの重心の方向が  $g^1$  から  $\varepsilon$  だけ傾いているので、 $\varepsilon$  は身体傾斜角とも考えられる。

### 7. カービング・ターン滑降

図8はカービング・スキーを用いたカービング・ターン滑降<sup>1)</sup>の1例である。(a)は1秒間に7.5枚のビデオ・プリントから作られたスキーの滑降軌跡である。(a)では、隣同志のスキーが重なり合って見え難いので、1m離し、長さ50cmの短スキーが(b)に再び描かれている。下向きの矢印はFLの方向を示している。(c)は、「3.定義」から作られた  $\theta$  と  $R$  を表している。スキー角  $\delta$  は  $\delta \equiv \theta$  とみなし、省略された。(d)は  $\beta_0$  と  $\beta_E$  を表している。 $\beta_0$  については、両足のスキーの  $\beta_0$  を示した。 $\beta_{0R}$  は右足スキーの水平角付け角であり、 $\beta_{0L}$  は左足スキーの水平角付け角である。スキーヤーは左スキーに乗っていると考え、 $\beta_E$  については左足のみを示した。角付け角は  $\beta_{0L} = \varepsilon + \beta_{EL}$  である。 $\beta_{EL}$  は左足スキーの  $\beta_E$  である。(e)は加速度成分を表している。ミカケの傾斜角  $\psi$  は  $\theta = 0^\circ$  では、 $\alpha = \psi = 10^\circ$  であるが、 $\theta$  が大きくなると  $\psi$  は減少する。しかし  $\theta = 20^\circ$  でも、 $\psi = 9.4^\circ$  であり、

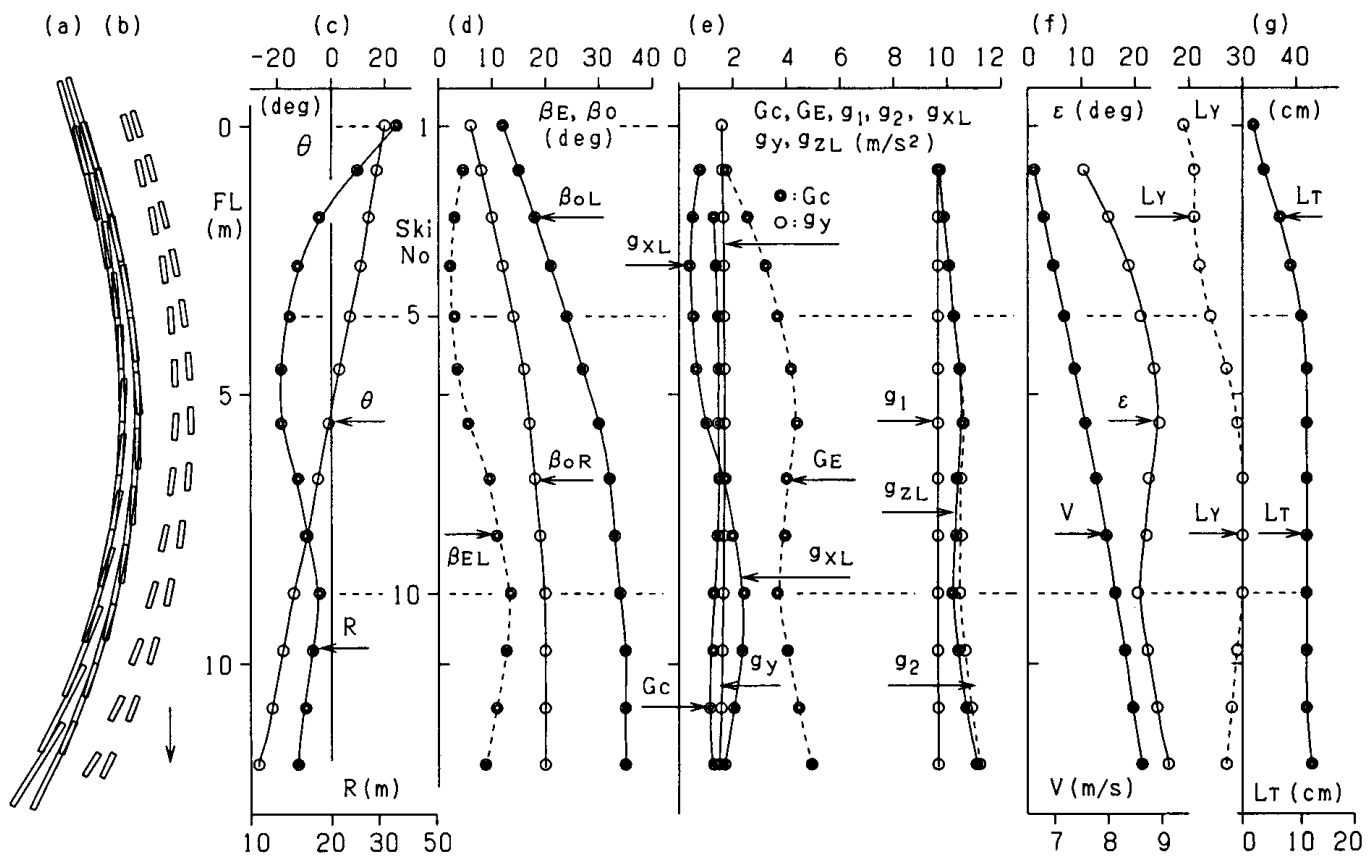


図8 カービング・スキーによるカービング・ターン

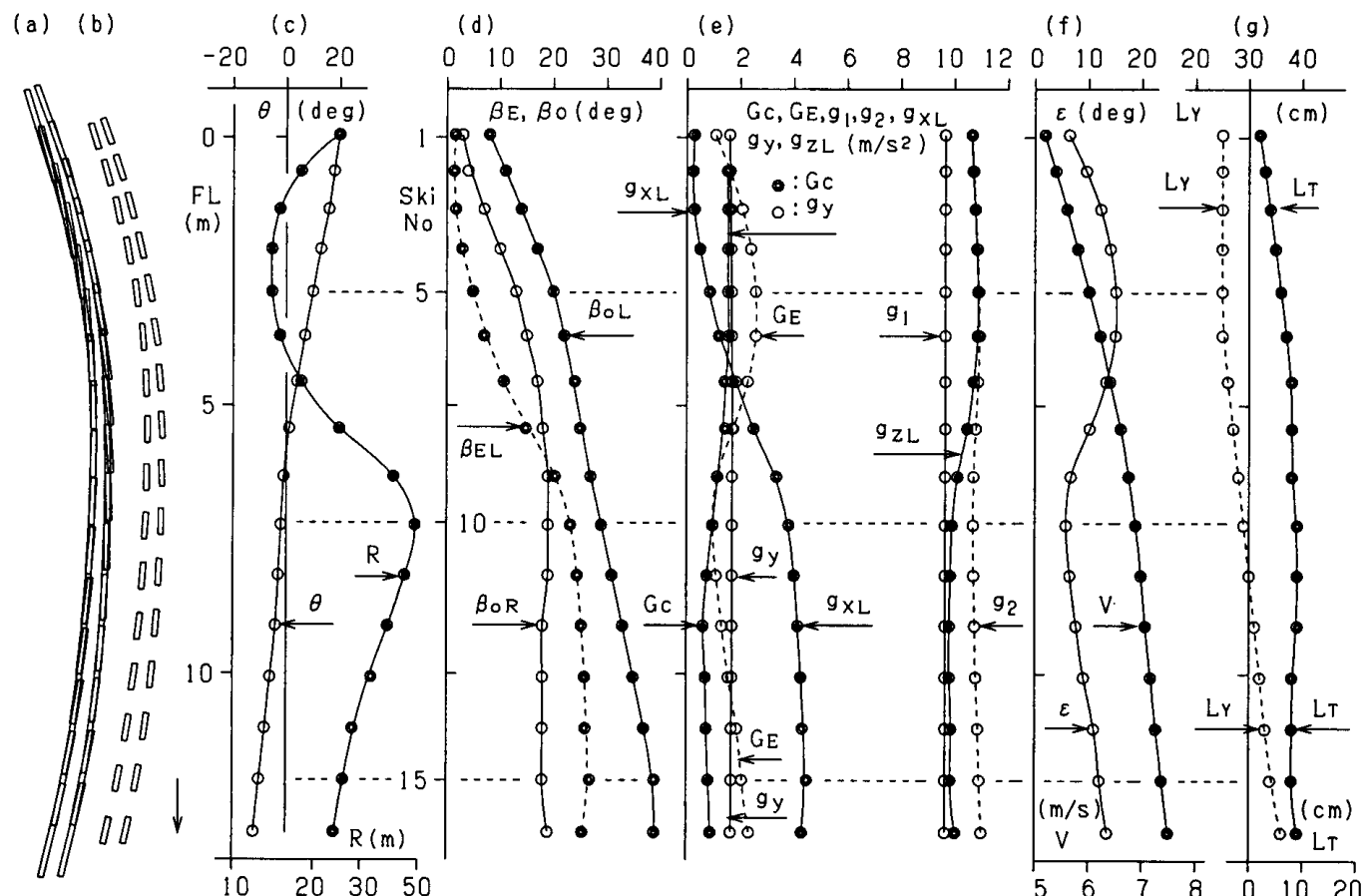


図9 ノーマル・スキーによるカービング・ターン

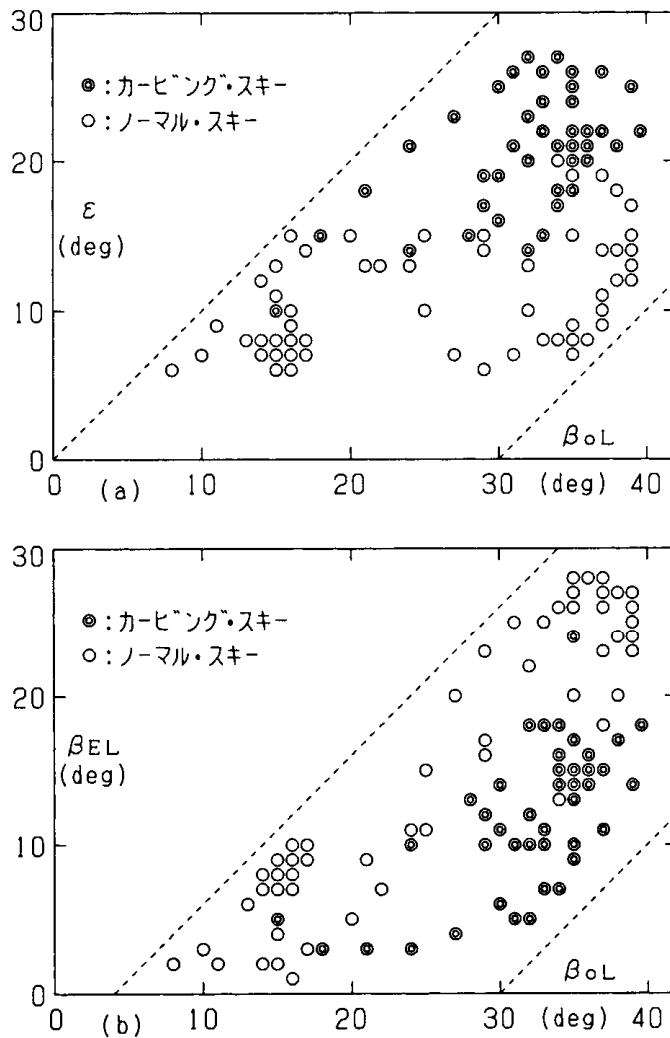


図10 水平角付け角 $\beta_0$ と有効角付け角 $\beta_E$ と身体傾斜角 $\varepsilon$ の間の相関図。

- (a) 左スキーの $\beta_0$ と $\varepsilon$ .
- (b) 左スキーの $\beta_0$ と $\beta_E$ .

$\alpha \approx \psi$ である。従って、式(4)の $g_y$ はほぼ一定となっている。 $g$ は $g_1$ と $g_y$ に分けられており、 $g_1$ もほぼ一定となっている。 $g_1$ と $G_E$ をベクトル合成したものが $g_2$ である。 $g_2$ は滑降面(図7,O-k)に沿う成分 $g_x$ と垂直な成分 $g_z$ に分れる。スキーヤーは左足で滑降しているとして、 $g_x = g_{xL}$ ,  $g_z = g_{zL}$ とした。 $V$ は両スキーの中心が描く軌道の接線方向の速度であり、 $G_c$ は接線方向の加速度である。 $L_Y$ と $L_T$ は図3で定義されたスキー横幅と縦幅を表している。図9はノーマル・スキーを用いたカービング・ターン滑降<sup>1)</sup>の1例である。

## 8. 測定結果

図8と図9から曲率半径 $R$ を調べてみると、 $R >$

10mである。スキーの横幅 $L_Y$ は $L_Y < 40\text{cm}$ である。

「5.1.」の $R' \approx R$ はほぼ満たされている。

スキーヤーの重心の位置と雪面の間は約1mであり、 $(C'-C) \approx 1\text{m}$ となり、 $(C'-C) < R$ はほぼ満たされている。

スキーの縦幅 $L_T$ では、両図から $15\text{cm} > L_T > 0\text{cm}$ であり、回転滑降の内側のスキーが常に前に出ていた。

図8と図9から、接線方向の加速度の実測値 $G_c$ は常に $G_c > 0$ であったので、スキーはいつも加速の状態にあった。接線方向の重力の加速度 $g_y$ は実測値 $G_c$ より大きい筈あり、両図から $g_y > G_c$ が確かめられた。摩擦力の加速度 $g_f$ については、 $g_y - G_c = g_f > 0$ であり、 $g_f < g/10$ であった。図2と図4は摩擦力=0の元に描かれているが、ほぼこの条件を満たしている。

遠心力の加速度 $G_E$ と重力の加速度成分 $g_1$ から、身体傾斜角 $\varepsilon$ と有効角付け角 $\beta_E$ が導かれた。それを基に、「図8と同様の滑降を3例」と「図9と同様の滑降を3例」から $\beta_0$ と $\beta_E$ と $\varepsilon$ の間の関係を調べて図10に示した。◎はカービング・スキーであり、○はノーマル・スキーであり、両者の間に分布の違いが認められる。◎と○は斜め点線の間に分布している。これらから、共に、「6. 有効角付け角 $\beta_E$ 」で推定されたように、回転滑降をする時は $\beta_0 > \beta_E > 0^\circ$ であり、 $\beta_0 > \varepsilon > 0^\circ$ である事が図10から確かめられた。これにより、有効角付け角 $\beta_E$ の導入は実験的にも合理的であると思われる。

## 9. 結論

回転滑降中のスキーを含むスキーヤーの重力の加速度成分を調べてみた。加速度成分は、スキーの傾き $\alpha$ ,  $\beta$ ,  $\theta$ と、これらから作られる数個の傾きに依存している事が分った。

回転滑降をする時には遠心力を考慮する必要がある。遠心力を含む重力の加速度成分を調べる事により、スキー角付け角には、斜面角付け角 $\beta$ 、水平角付け角 $\beta_0$ 、有効角付け角 $\beta_E$ の3種類を考える必要がある事も分った。

実際に、回転滑降に寄与しているのは $\beta_E$ であ

ろうと思われる。

## 謝辞

著者は愛知教育大学市野教授に対して貴重な討論を感謝する。又、雪上実験に対して岐阜県朴の木平スキー場の上平氏に感謝する。

## 参考文献

- 1) Toshio Sahashi and Shoji Ichino (2001): Carving-turn and edging angle of skis, Sports Engineering 4,135-145
- 2) 佐橋稔雄,市野聖治 (1999):スキー研究の軌跡,日本スキー学会誌9(1),67-77
- 3) 佐橋稔雄,市野聖治 (2001):スキーの回転機構の実験的研究  
2.角付け角の測定,日本スキー学会誌11(1),203-212
- 4) 市野聖治 (2002):カービング・ターンの科学,スキー・ジャーナル社, 東京
- 5) Toshio Sahashi and Shoji Ichino (1996): Experimental Study of the Mechanism of Skiing Turns. 3. Measurement of Edging Angles of Skis on Snow Surface, Japanese Journal of Applied Physics 35,2377-2382

**著者** 佐橋稔雄(さはし としお)  
愛知スポーツ物理学研究所  
スポーツ物理学

(原稿受付 2008年5月28日)